

Vettore di Poynting e conservazione della potenza 1/5

Consideriamo un fascio di onde piane che incidano su una superficie dielettrica e indichiamo con A la sezione di impatto del fascio sulla superficie.

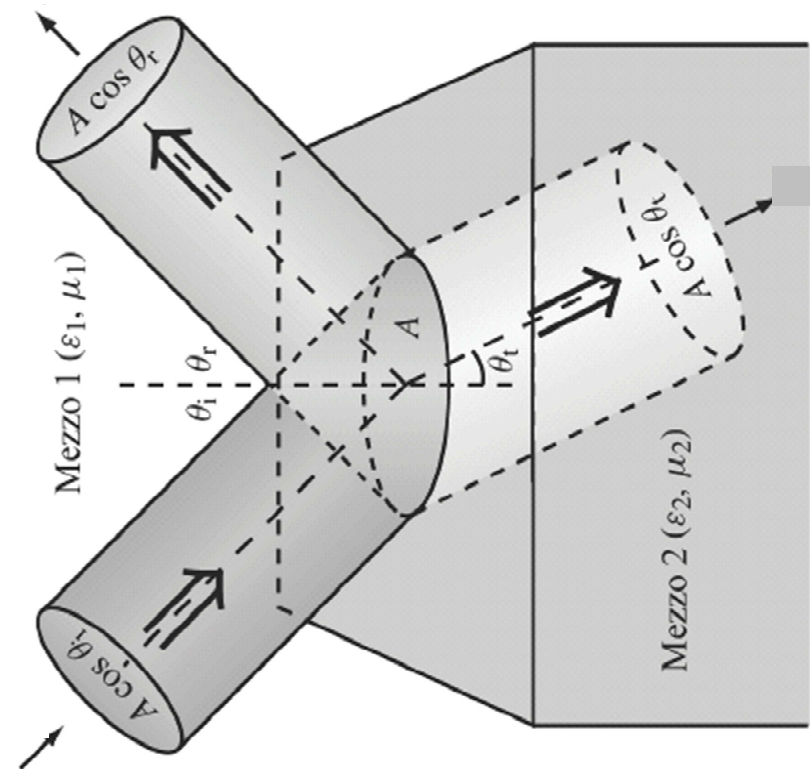
Le sezioni “oblique” ortogonali alla direzione di propagazione delle onde saranno $A \cos\theta_i$, $A \cos\theta_r$ e $A \cos\theta_t$.

Le potenze attive medie incidente riflessa e trasmessa valgono:

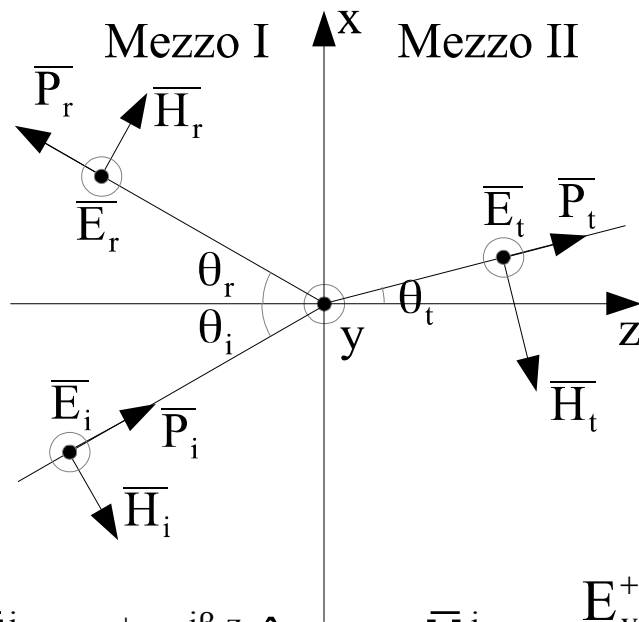
$$W_i = \frac{1}{2} \int_{A \cos\theta_i} \text{Re}\{\bar{\mathbf{E}}_i \times \bar{\mathbf{H}}_i^*\} \cdot d\bar{\mathbf{S}}$$

$$W_r = \frac{1}{2} \int_{A \cos\theta_r} \text{Re}\{\bar{\mathbf{E}}_r \times \bar{\mathbf{H}}_r^*\} \cdot d\bar{\mathbf{S}}$$

$$W_t = \frac{1}{2} \int_{A \cos\theta_t} \text{Re}\{\bar{\mathbf{E}}_t \times \bar{\mathbf{H}}_t^*\} \cdot d\bar{\mathbf{S}}$$



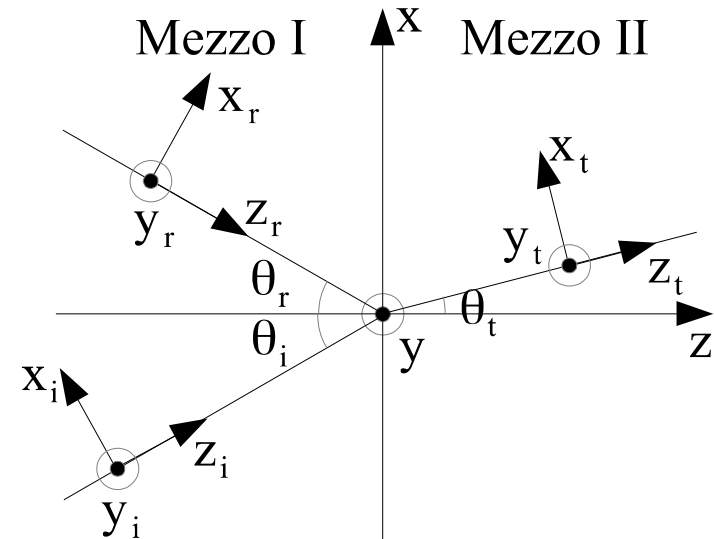
Vettore di Poynting e conservazione della potenza TE



$$\bar{\mathbf{E}}^i = E_y^+ e^{-j\beta_1 z_i} \hat{\mathbf{y}} \quad \bar{\mathbf{H}}^i = -\frac{E_y^+}{\eta_1} e^{-j\beta_1 z_i} \hat{\mathbf{x}}_i$$

$$\bar{\mathbf{E}}^r = \rho^{\text{TE}} E_y^+ e^{j\beta_1 z_r} \hat{\mathbf{y}} \quad \bar{\mathbf{H}}^r = \frac{\rho^{\text{TE}} E_y^+}{\eta_1} e^{j\beta_1 z_r} \hat{\mathbf{x}}_r$$

$$\bar{\mathbf{E}}^t = \tau^{\text{TE}} E_y^+ e^{-j\beta_2 z_t} \hat{\mathbf{y}} \quad \bar{\mathbf{H}}^t = -\frac{\tau^{\text{TE}} E_y^+}{\eta_2} e^{-j\beta_2 z_t} \hat{\mathbf{x}}_t$$



$$W_i = \frac{1}{2} \int_{A \cos \theta_i} \text{Re} \{ \bar{\mathbf{E}}_i \times \bar{\mathbf{H}}_i^* \} \cdot d\bar{\mathbf{S}}_i$$

$$W_r = \frac{1}{2} \int_{A \cos \theta_r} \text{Re} \{ \bar{\mathbf{E}}_r \times \bar{\mathbf{H}}_r^* \} \cdot d\bar{\mathbf{S}}_r$$

$$W_t = \frac{1}{2} \int_{A \cos \theta_t} \text{Re} \{ \bar{\mathbf{E}}_t \times \bar{\mathbf{H}}_t^* \} \cdot d\bar{\mathbf{S}}_t$$

Vettore di Poynting e conservazione della potenza TE

$$W_i = \int_{A \cos \theta_i} \operatorname{Re} \left\{ \frac{E_y^+ e^{-j\beta_1 z_i} \hat{\mathbf{y}}}{2} \times \left(-\frac{E_y^+}{\eta_1} e^{-j\beta_1 z_i} \hat{\mathbf{x}}_i \right)^* \right\} \cdot d\bar{\mathbf{S}}_i = \int_{A \cos \theta_i} \frac{|E_y^+|^2}{2\eta_1} \hat{\mathbf{z}}_i \cdot d\bar{\mathbf{S}}_i = \frac{|E_y^+|^2}{2\eta_1} A \cos \theta_i$$

$$= |\bar{\mathbf{P}}_i| A \cos \theta_i$$

$$W_r = \int_{A \cos \theta_i} \operatorname{Re} \left\{ \frac{\rho^{\text{TE}} E_y^+ e^{j\beta_1 z_r} \hat{\mathbf{y}}}{2} \times \left(\frac{\rho^{\text{TE}} E_y^+}{\eta_1} e^{j\beta_1 z_r} \hat{\mathbf{x}}_r \right)^* \right\} \cdot d\bar{\mathbf{S}}_r = - \int_{A \cos \theta_i} |\rho^{\text{TE}}|^2 \frac{|E_y^+|^2}{2\eta_1} \hat{\mathbf{z}}_r \cdot d\bar{\mathbf{S}}_r$$

$$= |\rho^{\text{TE}}|^2 \frac{|E_y^+|^2}{2\eta_1} A \cos \theta_i = |\rho^{\text{TE}}|^2 |\bar{\mathbf{P}}_i| A \cos \theta_i \quad d\bar{\mathbf{S}}_r = dS_r (-\hat{\mathbf{z}}_r)$$

$$W_t = \int_{A \cos \theta_t} \operatorname{Re} \left\{ \frac{\tau^{\text{TE}} E_y^+ e^{-j\beta_2 z_t} \hat{\mathbf{y}}}{2} \times \left(-\frac{\tau^{\text{TE}} E_y^+}{\eta_2} e^{-j\beta_2 z_t} \hat{\mathbf{x}}_t \right)^* \right\} \cdot d\bar{\mathbf{S}} = \int_{A \cos \theta_t} |\tau^{\text{TE}}|^2 \frac{|E_y^+|^2}{2\eta_2} \hat{\mathbf{z}}_t \cdot d\bar{\mathbf{S}}_t$$

$$= |\tau^{\text{TE}}|^2 \frac{|E_y^+|^2}{2\eta_2} A \cos \theta_t = |\tau^{\text{TE}}|^2 \frac{|E_y^+|^2}{2\eta_1} \frac{\eta_1}{\eta_2} A \cos \theta_t = |\tau^{\text{TE}}|^2 \frac{\eta_1}{\eta_2} |\bar{\mathbf{P}}_i| A \cos \theta_t$$

Vettore di Poynting e conservazione della potenza TE

$$W_i - W_r = |\mathbf{P}_i| A \cos \theta_i - |\rho^{\text{TE}}|^2 |\mathbf{P}_i| A \cos \theta_i = |\mathbf{P}_i| A \cos \theta_i (1 - |\rho^{\text{TE}}|^2) =$$

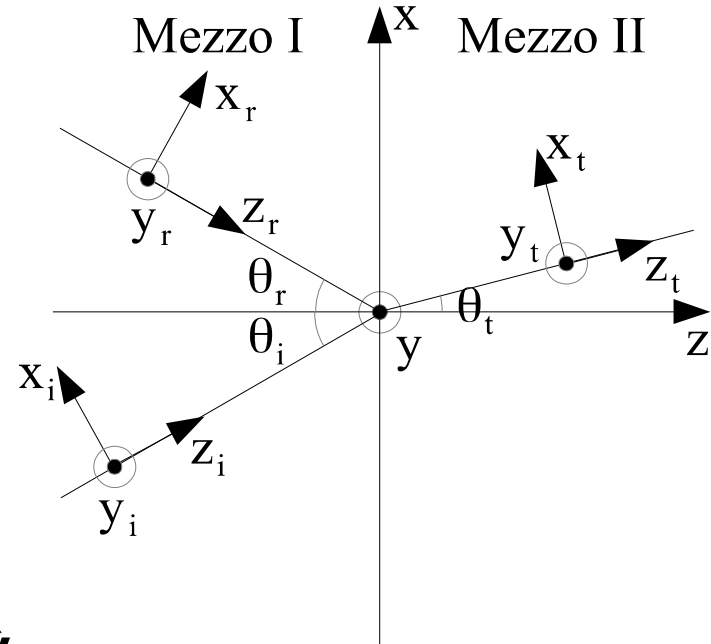
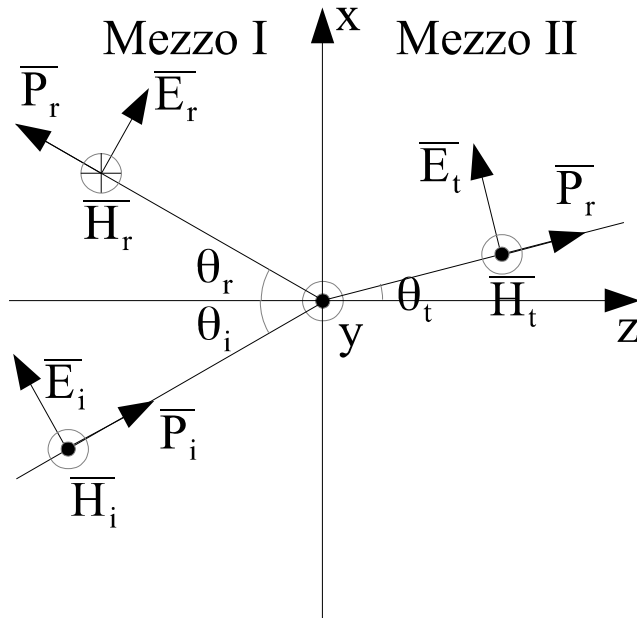
$$= |\mathbf{P}_i| A \cos \theta_i \frac{4\sqrt{\epsilon_{r1}\epsilon_{r2}} \cos \theta_i \cos \theta_t}{\left(\sqrt{\epsilon_{r1}} \cos \theta_i + \sqrt{\epsilon_{r2}} \cos \theta_t\right)^2}$$

$$W_t = |\tau^{\text{TE}}|^2 \frac{\eta_1}{\eta_2} |\mathbf{P}_i| A \cos \theta_t = \frac{4\epsilon_{r1} \cos^2 \theta_i}{\left(\sqrt{\epsilon_{r1}} \cos \theta_i + \sqrt{\epsilon_{r2}} \cos \theta_t\right)^2} \frac{\sqrt{\epsilon_{r2}}}{\sqrt{\epsilon_{r1}}} |\mathbf{P}_i| A \cos \theta_t$$

$$= \frac{4\sqrt{\epsilon_{r1}\epsilon_{r2}} \cos^2 \theta_i}{\left(\sqrt{\epsilon_{r1}} \cos \theta_i + \sqrt{\epsilon_{r2}} \cos \theta_t\right)^2} |\mathbf{P}_i| A \cos \theta_t$$

$$W_i = W_r + W_t \quad \mathbf{N.B.}$$

Vettore di Poynting e conservazione della potenza TM



$$\bar{\mathbf{E}}^i = \eta_1 H_y^+ e^{-j\beta_1 z_i} \hat{\mathbf{x}}_i$$

$$\bar{\mathbf{H}}^i = H_y^+ e^{-j\beta_1 z_i} \hat{\mathbf{y}}$$

$$\bar{\mathbf{E}}^r = \rho^{\text{TM}} \eta_1 H_y^+ e^{j\beta_1 z_r} \hat{\mathbf{x}}_r$$

$$\bar{\mathbf{H}}^r = -\rho^{\text{TM}} H_y^+ e^{j\beta_1 z_r} \hat{\mathbf{y}}$$

$$\bar{\mathbf{E}}^t = H_y^+ \eta_1 \tau^{\text{TM}} \frac{\cos \theta_i}{\cos \theta_t} e^{-j\beta_2 z_t} \hat{\mathbf{x}}_t$$

$$\bar{\mathbf{H}}^t = H_y^+ \tau^{\text{TM}} \frac{\eta_1 \cos \theta_i}{\eta_2 \cos \theta_t} e^{-j\beta_2 z_t} \hat{\mathbf{y}}$$

$$W_k = \frac{1}{2} \int_{A \cos \theta_k} \text{Re} \{ \bar{\mathbf{E}}_k \times \bar{\mathbf{H}}_k^* \} \cdot d\bar{\mathbf{S}}_k \quad k = i, r, t$$

Vettore di Poynting e conservazione della potenza TM

$$W_i = 0.5 \int_{A \cos \theta_i} \operatorname{Re} \left\{ \eta_1 H_y^+ e^{-j\beta_1 z_i} \hat{\mathbf{x}}_i \times \left(H_y^+ e^{-j\beta_1 z_i} \hat{\mathbf{y}} \right)^* \right\} \cdot d\bar{\mathbf{S}}_i = 0.5 \int_{A \cos \theta_i} \eta_1 |H_y^+|^2 \hat{\mathbf{z}}_i \cdot d\bar{\mathbf{S}}_i$$

$$= 0.5 \eta_1 |H_y^+|^2 A \cos \theta_i = |\bar{\mathbf{P}}_i| A \cos \theta_i$$

$$W_r = 0.5 \int_{A \cos \theta_i} \operatorname{Re} \left\{ \rho^{\text{TM}} \eta_1 H_y^+ e^{j\beta_1 z_r} \hat{\mathbf{x}}_r \times \left(-\rho^{\text{TM}} H_y^+ e^{j\beta_1 z_r} \hat{\mathbf{y}} \right)^* \right\} \cdot d\bar{\mathbf{S}}_r = \quad d\bar{\mathbf{S}}_r = d\mathbf{S}_r(-\hat{\mathbf{z}}_r)$$

$$= -0.5 \int_{A \cos \theta_i} |\rho^{\text{TM}}|^2 \eta_1 |H_y^+|^2 \hat{\mathbf{z}}_r \cdot d\bar{\mathbf{S}}_r = 0.5 |\rho^{\text{TM}}|^2 \eta_1 |H_y^+|^2 A \cos \theta_i = |\rho^{\text{TE}}|^2 |\bar{\mathbf{P}}_i| A \cos \theta_i$$

$$W_t = 0.5 \int_{A \cos \theta_t} \operatorname{Re} \left\{ H_y^+ \eta_1 \tau^{\text{TM}} \frac{\cos \theta_i}{\cos \theta_t} e^{-j\beta_2 z_t} \hat{\mathbf{x}}_t \times \left(H_y^+ \tau^{\text{TM}} \frac{\eta_1 \cos \theta_i}{\eta_2 \cos \theta_t} e^{-j\beta_2 z_t} \hat{\mathbf{y}} \right)^* \right\} \cdot d\bar{\mathbf{S}} =$$

$$= 0.5 \int_{A \cos \theta_t} |\tau^{\text{TM}}|^2 \eta_1 |H_y^+|^2 \frac{\eta_1 \cos^2 \theta_i}{\eta_2 \cos^2 \theta_t} \hat{\mathbf{z}}_t \cdot d\bar{\mathbf{S}}_t = |\tau^{\text{TM}}|^2 \frac{\eta_1 \cos^2 \theta_i}{\eta_2 \cos^2 \theta_t} |\bar{\mathbf{P}}_i| A \cos \theta_t =$$

$$= |\tau^{\text{TM}}|^2 \frac{\eta_1 \cos^2 \theta_i}{\eta_2 \cos \theta_t} |\bar{\mathbf{P}}_i| A$$

Vettore di Poynting e conservazione della potenza TM

$$\begin{aligned} W_i - W_r &= |\bar{\mathbf{P}}_i| A \cos \theta_i - |\rho^{\text{TM}}|^2 |\bar{\mathbf{P}}_i| A \cos \theta_i = \cos \theta_i (1 - |\rho^{\text{TM}}|^2) |\bar{\mathbf{P}}_i| A = \\ &= \cos \theta_i \frac{4\sqrt{\epsilon_{r1}\epsilon_{r2}} \cos \theta_i \cos \theta_t}{\left(\sqrt{\epsilon_{r1}} \cos \theta_t + \sqrt{\epsilon_{r2}} \cos \theta_i\right)^2} |\bar{\mathbf{P}}_i| A = \frac{4\sqrt{\epsilon_{r1}\epsilon_{r2}} \cos^2 \theta_i \cos \theta_t}{\left(\sqrt{\epsilon_{r1}} \cos \theta_t + \sqrt{\epsilon_{r2}} \cos \theta_i\right)^2} |\bar{\mathbf{P}}_i| A \end{aligned}$$

$$\begin{aligned} W_t &= |\tau^{\text{TM}}|^2 \frac{\eta_1 \cos^2 \theta_i}{\eta_2 \cos \theta_t} |\bar{\mathbf{P}}_i| A = \frac{4\epsilon_{r1} \cos^2 \theta_t}{\left(\sqrt{\epsilon_{r1}} \cos \theta_t + \sqrt{\epsilon_{r2}} \cos \theta_i\right)^2} \frac{\sqrt{\epsilon_{r2}}}{\sqrt{\epsilon_{r1}}} \frac{\cos^2 \theta_i}{\cos \theta_t} |\bar{\mathbf{P}}_i| A \\ &= \frac{4\sqrt{\epsilon_{r1}} \sqrt{\epsilon_{r2}} \cos \theta_t \cos^2 \theta_i}{\left(\sqrt{\epsilon_{r1}} \cos \theta_t + \sqrt{\epsilon_{r2}} \cos \theta_i\right)^2} |\bar{\mathbf{P}}_i| A \end{aligned}$$

$$W_i = W_r + W_t \quad \mathbf{N.B.}$$

Angolo di Brewster

Esistono dei valori di angolo di incidenza per cui il coefficiente di riflessione vale zero?

Se tale angolo esiste, esso viene definito angolo di Brewster.

Per rispondere a questa domanda, bisogna analizzare separatamente le due polarizzazioni.

Angolo di Brewster: TM

$$\rho^{TM} = \frac{Z_2^{TM} - Z_1^{TM}}{Z_2^{TM} + Z_1^{TM}} = \frac{\eta_2 \cos \theta_t - \eta_1 \cos \theta_i}{\eta_2 \cos \theta_t + \eta_1 \cos \theta_i} = 0 \Leftrightarrow \eta_2 \cos \theta_t = \eta_1 \cos \theta_i$$

$$\eta_2 \cos \vartheta_t = \eta_2 \sqrt{1 - \sin^2 \vartheta_t} = \eta_2 \sqrt{1 - \frac{\epsilon_{r1} \sin^2 \vartheta_i}{\epsilon_{r2}}} = \eta_1 \cos \theta_i$$

$$1 - \frac{\epsilon_{r1} \sin^2 \vartheta_i}{\epsilon_{r2}} = \frac{\eta_1^2}{\eta_2^2} \cos^2 \theta_i = \frac{\eta_1^2}{\eta_2^2} (1 - \sin^2 \theta_i) = \frac{\epsilon_{r2}}{\epsilon_{r1}} (1 - \sin^2 \theta_i)$$

\Downarrow

$$1 - \frac{\epsilon_{r1} \sin^2 \vartheta_i}{\epsilon_{r2}} = \frac{\epsilon_{r2}}{\epsilon_{r1}} (1 - \sin^2 \theta_i)$$

$$\sin^2 \vartheta_i \left(\frac{\epsilon_{r1}}{\epsilon_{r2}} - \frac{\epsilon_{r2}}{\epsilon_{r1}} \right) = 1 - \frac{\epsilon_{r2}}{\epsilon_{r1}}$$

$$\sin^2 \vartheta_i \frac{(\epsilon_{r1} - \epsilon_{r2})(\epsilon_{r1} + \epsilon_{r2})}{\epsilon_{r1} \epsilon_{r2}} = \frac{\epsilon_{r1} - \epsilon_{r2}}{\epsilon_{r1}}$$

Angolo di Brewster: TM

$$\sin^2 \theta_i \frac{(\epsilon_{r1} - \epsilon_{r2})(\epsilon_{r1} + \epsilon_{r2})}{\epsilon_{r1}\epsilon_{r2}} = \frac{\epsilon_{r1} - \epsilon_{r2}}{\epsilon_{r1}} \Rightarrow \sin^2 \theta_i = \frac{\epsilon_{r2}}{\epsilon_{r1} + \epsilon_{r2}} < 1 \quad \longrightarrow \quad \text{Esiste}$$

$$\text{angolo di Brewster} \quad \theta_B^{\text{TM}} = \text{Arc sin} \sqrt{\frac{\epsilon_{r2}}{\epsilon_{r1} + \epsilon_{r2}}} = \text{Arc tan} \sqrt{\frac{\epsilon_{r2}}{\epsilon_{r1}}} \quad \exists \quad \forall \epsilon_{r1}, \epsilon_{r2}$$

Angolo di Brewster: TE

$$\begin{aligned}\rho^{TM} &= \frac{Z_2^{TE} - Z_1^{TE}}{Z_2^{TE} + Z_1^{TE}} = \frac{\frac{\eta_2}{\cos \theta_t} - \frac{\eta_1}{\cos \theta_i}}{\frac{\eta_2}{\cos \theta_t} + \frac{\eta_1}{\cos \theta_i}} = 0 \Leftrightarrow \frac{\eta_2}{\cos \theta_t} = \frac{\eta_1}{\cos \theta_i} \\ \eta_2 \cos \vartheta_i &= \eta_1 \cos \theta_t = \eta_1 \sqrt{1 - \sin^2 \theta_t} = \eta_1 \sqrt{1 - \frac{\epsilon_{r1} \sin^2 \theta_i}{\epsilon_{r2}}} \\ &\Downarrow \\ \eta_2 \cos \vartheta_i &= \eta_1 \sqrt{1 - \frac{\epsilon_{r1} \sin^2 \theta_i}{\epsilon_{r2}}} \\ \frac{\eta_2^2}{\eta_1^2} \cos^2 \vartheta_i &= \frac{\epsilon_{r1}}{\epsilon_{r2}} (1 - \sin^2 \vartheta_i) = 1 - \frac{\epsilon_{r1} \sin^2 \theta_i}{\epsilon_{r2}} \Rightarrow \frac{\epsilon_{r1}}{\epsilon_{r2}} = 1\end{aligned}$$

Quindi l'angolo di Brewster per la polarizzazione TE esiste soltanto se i due mezzi dielettrici sono uguali. Questa risposta è ovvia e quindi possiamo asserire che per la polarizzazione TE non esiste l'angolo di Brewster.

<http://micro.magnet.fsu.edu/primer/java/scienceopticsu/polarizedlight/brewster/index.html>

angolo di Brewster

Angolo di riflessione totale o angolo critico

Esistono dei valori di angolo di incidenza per cui il modulo del coefficiente di riflessione vale uno e quindi tutta la potenza incidente viene riflessa?

Se tale angolo esiste, esso viene definito angolo critico o di riflessione totale

$$\rho^{\text{TM}} = \frac{Z_2^{\text{TM}} - Z_1^{\text{TM}}}{Z_2^{\text{TM}} + Z_1^{\text{TM}}} = \frac{\eta_2 \cos \theta_t - \eta_1 \cos \theta_i}{\eta_2 \cos \theta_t + \eta_1 \cos \theta_i} \Rightarrow |\rho^{\text{TM}}| = 1 \Leftrightarrow \eta_2 \cos \theta_t = 0 \Rightarrow \theta_t = \pi / 2$$

$$\rho^{\text{TE}} = \frac{Z_2^{\text{TE}} - Z_1^{\text{TE}}}{Z_2^{\text{TE}} + Z_1^{\text{TE}}} = \frac{\frac{\eta_2}{\cos \theta_t} - \frac{\eta_1}{\cos \theta_i}}{\frac{\eta_2}{\cos \theta_t} + \frac{\eta_1}{\cos \theta_i}} \Rightarrow |\rho^{\text{TE}}| = 1 \Leftrightarrow \frac{\eta_2}{\cos \theta_t} \rightarrow \infty \Rightarrow \theta_t = \pi / 2$$

Quindi

$$\sqrt{\epsilon_{r1}} \sin \theta_i = \sqrt{\epsilon_{r2}} \sin \theta_t = \sqrt{\epsilon_{r2}} \Rightarrow \theta_c = \text{Arcsin} \sqrt{\frac{\epsilon_{r2}}{\epsilon_{r1}}} \quad \exists \Leftrightarrow \epsilon_{r1} > \epsilon_{r2}$$

Angolo di riflessione totale o angolo critico

Quindi, esiste un angolo critico soltanto se l'onda passa da un mezzo più denso a un mezzo meno denso.

E' possibile dimostrare che se l'angolo di incidenza supera questo valore il coefficiente di riflessione continua ad avere modulo unitario e quindi tutta la potenza viene riflessa.

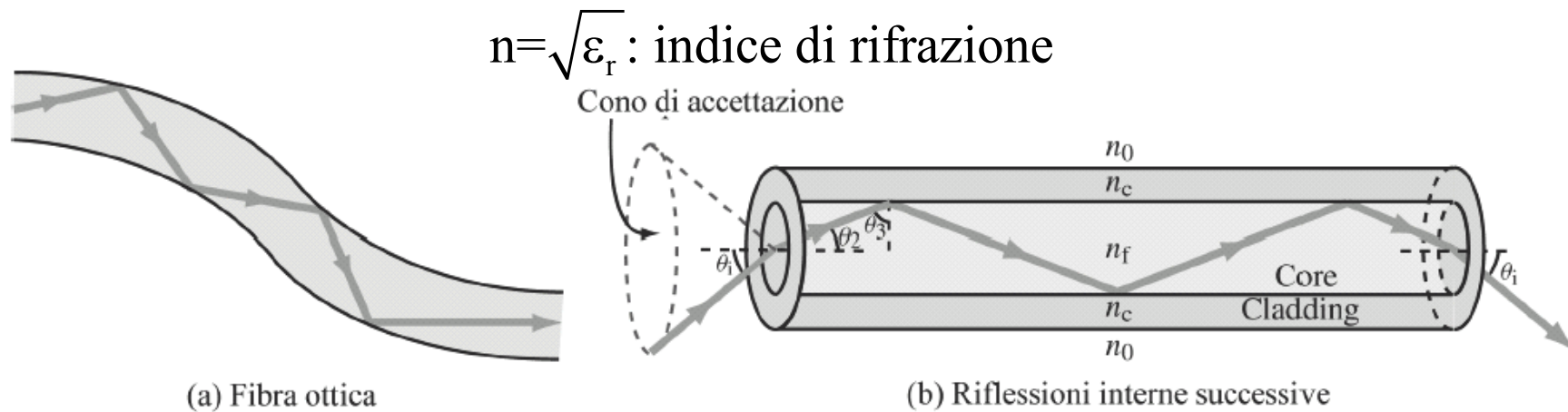
Quindi per avere riflessione totale basta che sia

$$\theta_i > \theta_c$$

incidenza obliqua

<http://www.amanogawa.com/archive/Oblique/Oblique.html>

Applicazioni dell'angolo critico: fibre ottiche



$$\theta_3 > \theta_c \quad \theta_c = \text{Arcsin} \sqrt{\frac{\epsilon_{rc}}{\epsilon_{rf}}} = \text{Arcsin} \frac{n_c}{n_f} \quad \theta_2 = \frac{\pi}{2} - \theta_3$$

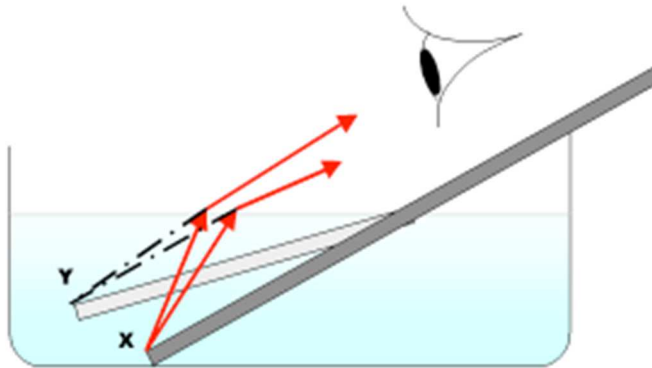
$$\text{Snell: } n_i \sin \theta_i = n_f \sin \theta_2 \quad (n_i = 1) \quad \sin \theta_i = n_f \sin(\pi/2 - \theta_3) = n_f \cos \theta_3$$

$$\sin \theta_i = n_f \cos \theta_3 = n_f \sqrt{1 - \sin^2 \theta_3} = n_f \sqrt{1 - \sin^2 \theta_c} = n_f \sqrt{1 - \frac{n_c^2}{n_f^2}} = \sqrt{n_f^2 - n_c^2}$$

$$\text{cono di accettazione: } \theta_i \leq \text{Arcsin} \sqrt{n_f^2 - n_c^2} \quad \text{es. } n_c = 1.49 \quad n_f = 1.52 \quad \theta_i \leq 17.5^\circ$$

Applicazioni della rifrazione:

la penna si piega !!!!



arcobaleno



Applicazioni della rifrazione:

<http://micro.magnet.fsu.edu/primer/java/scienceopticsu/refraction/refractionangles/index.html>

rifrazione della luce

<http://micro.magnet.fsu.edu/primer/java/scienceopticsu/lenses/magnify/index.html>

lenti

<http://micro.magnet.fsu.edu/primer/java/scienceopticsu/prism/index.html>

rifrazione di un prisma